

С С С Р - М И С
ДНЕПРОПЕТРОВСКИЙ ИНСТИТУТ ИНЖЕНЕРОВ ЖЕЛЕЗНОДОРОЖНОГО ТРАНСПОРТА

Баев С.В.

На правах рукописи
Аспирант Баев С.В.

НЕКОТОРЫЕ ЗАДАЧИ АВТОКОЛЕБАНИЙ
ПРИ СУХОМ ТРЕНИИ

(Специальность 01.022 - сопротивление материалов и
строительная механика)

Ч 1329

Автореферат
диссертации на соискание ученым степени кандидата
технических наук

Днепропетровск
1970

НТБ
Днужт

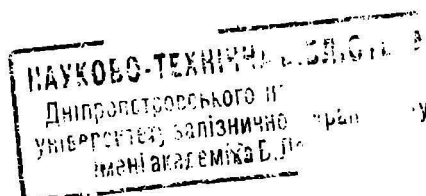
На правах рукописи

Аспирант Баев С.В.

НЕКОТОРЫЕ ЗАДАЧИ АВТОКОЛЕБАНИЙ
ПРИ СУХОМ ТРЕНИИ

(Специальность 01.022 - сопротивление материалов и
строительная механика)

Автореферат
диссертации на соискание ученой степени кандидата
технических наук



Дніпропетровськ
1970

НТБ
Днігуржт

Работа выполнена в Днепропетровском институте инженеров железнодорожного транспорта.

Научный руководитель - доктор технических наук, профессор Бондарь Н.Г.

Официальные оппоненты

доктор технических наук, профессор Моргаевский А.Б., кандидат технических наук, доцент Длугач Л.А.

Ведущее предприятие - Днепропетровский ордена Трудового Красного Знамени государственный университет им. 300-летия воссоединения Украины с Россией .

Автореферат разослан 12 августа
Защита диссертации состоится в открытие. 1970 г.

на заседании Совета Днепропетровского института инженеров железнодорожного транспорта (г. Днепропетровск, Ю, ул. Университетская, 2, ДИИТ).

С диссертацией можно ознакомиться в библиотеке института .

Просим Вас и сотрудников Вашего учреждения, интересующихся темой диссертации, принять участие в заседании Ученого Совета или прислать свои отзывы о работе по адресу

г.Днепропетровск, Ю, ул.Университетская, 2, ДИИТ.

Ученый секретарь Совета института .

НТБ
ДніупроГУ

Среди явлений, сопровождающих процесс трения, большой научный и практический интерес представляет самовозбуждение механических колебаний в упругих системах .

Механические автоколебания представляют собой широко распространенное явление в технике. Известно, что при резании металлов в определенных условиях возникает вибрация, которая приводит к резкому ухудшению качества обработки детали при резании, а чаще всего приводит деталь в негодность. Результатом автоколебаний являются и резкие рывки при трогании автомобиля, скрик тормозов автомобиля или подвижного состава при движении, скачкообразное перемещение трущихся деталей приборов, что резко снижает точность работы последних. Часто возникающие механические автоколебания вызывают большие напряжения в строительных конструкциях, имеющих механизмы с сухим трением. К таким конструкциям относятся подъемные и поворотные мосты . Ден-Гартогом Дж.П. описан случай обрушения одной из опор подъемного моста из-за возникших интенсивных автоколебаний.

Исследованиями установлено, что возникновение автоколебаний обусловлено особым видом статических и кинетических тренияционных характеристик.

Часть исследователей полагала, что возникновение автоколебаний обусловлено кинетическими характеристиками. Широкое распространение получила теория Н.Л. Каидемовского и С.Э.Хайкина. Согласно этой теории возникновение автоколебаний релаксационного типа объясняется уменьшением силы трения с увеличением скорости соприкасающихся поверхностей .

НП
Днужт

Основных положений изложенной теории придерживаются Штурманн, Варлоу-Девис, В.О. Кононенко, Морган, Мускат, Рид и Симпсон, Н.Р. Бессараб .

Анализируя процесс возникновения вибраций при резании, А.И. Камирик также исходит только из наличия падающего участка скоростной характеристики силы трения .

Исследования, проведенные И.В. Крагельским показали, что в общем случае скоростьная зависимость силы трения скольжения F_{ck} от скорости относительного смещения $\dot{\varepsilon}$ имеет вид

$$F_{ck} = (a + b_0 \dot{\varepsilon}^{-\kappa \dot{\varepsilon}}) + d, \quad (1)$$

где параметры a, b_0, κ, d зависят от условий работы , свойств материалов пары трения и состояния поверхности контакта . Аналогичная зависимость получена Н.Ф. Кунином и Г.Д. Ломакиним .

Согласно теории Н.Л. Кайдановского и С.Э. Хайкина амплитуда автоколебаний не изменяется с изменением скорости движения принудительно подвижного элемента, что противоречит опытным данным .

Еще Кухоном было замечено увеличение силы трения покоя с увеличением времени неподвижного контакта . Учитывая упруго-вязкую природу фрикционного контакта, И.В. Крагельский получил статическую характеристику силы трения покоя в виде

$$P = P_\infty - (\bar{P}_\infty - F_{cko}) e^{-\beta t}, \quad (2)$$

где P_∞ и F_{cko} - сила трения покоя соответственно при бесконечно длившемся контакте и продолжительности контакта равной нулю , t - время неподвижного контакта , β - постоянный коэффициент .

Позже статическая характеристика силы трения была уточнена Ю.И. Костерином

$$\rho = \rho_{\infty} [1 + \exp(-\delta_2 t^{\beta})]^{\gamma} \quad (3)$$

Последняя хорошо согласуется с опытными данными, а также с зависимостью (2) для значительного промежутка времени неподвижного контакта.

Параметры $\delta_2, \rho_{\infty}, \gamma$ зависят от свойств материалов и состояния поверхности трения.

А.Д. Никинским и И.В. Крегельским была выдвинута другая теория, объясняющая причину возникновения релаксационных автоколебаний наличием положительной разности между силой трения покоя и скольжения — силы сцепления, которая достигается за счет роста силы трения покоя с увеличением продолжительности неподвижного контакта. В результате исследования автоколебаний системы, вызываемых силой сцепления, А.Д. Никинским получена амплитуда в установившемся режиме с учетом зависимости (2), показано, что положение равновесия, соответствующее силе трения скольжения при скорости, равной нулю, является устойчивым, если скоростная характеристика постоянна, и неустойчивым при падающей характеристике силы трения. Особый интерес представляет полученное условие проскаока после первого срыва

$$3F_{sko} < P_{so} \quad (4)$$

Впоследствии Н.Ф. Куниным и Г.Д. Ломакиним было установлено, что при исследовании релаксационных автоколебаний необходимо учитывать как статическую, так и кинетическую характеристику силы трения.

НТЦ
Днужт

Б.В.Дерягин, В.Э.Цуш, Д.И.Толстой впервые получили решение и провели анализ движений автоколебаний, учитывая указанные выше характеристики. Ю.И.Костериным и И.В.Крагельским было учтено более сложная кинетическая характеристика (I), однако решение выполнено графоаналитическим путем.

Очевидно, автоколебания без осстановок возбуждаются только благодаря падающей зависимости силы трения.

Кроме упомянутых выше работ, исследование таких колебаний в системе с одной степенью свободы посвящены работы И.И.Вульфсона, И.З.Коловского, В.А.Кудинова, Я.Г.Пановко, Н.Д.Сальниковой, С.П.Стрелкова, К.В.Фролова, А.А.Харжевича, Ден-Гартога, Г.Каудерера, И.Тлустого, Т.Хеяси, Ю.Гергеля, Р.Н.Джарвиса, В.Миллса, И.Д.Кемпера. Релаксационные автоколебания рассматриваются в работах В.Ф.Петрова, Ребиндера, Б.В.Дерягина, М.И.Хрущева, Кониссарова, И.Е.Эльясберга, В.И.Яковлева и др. Исследование автоколебаний системы с двумя степенями свободы выполнено в работах Л.И.Штейнвольфа, В.Ф.Петрова, Ю.Гергеля.

Как показывают результаты экспериментов, выполненных многоими учеными, релаксационные автоколебания вызывают наибольшие динамические усилия. В связи с этим настоящая работа посвящается исследованию релаксационных автоколебаний системы с одной и двумя степенями свободы.

Первая глава посвящена аналитическому исследованию автоколебаний системы с одной степенью свободы

Рассматриваемая система представляет собой упруго-связанное с опорой тело, прижатое некоторой силой к сухой поверхности. Опора равномерно перемещается относительно поверхности со скоростью u . Длина связи l уменьшается с увеличением

перемещения ξ и определяется выражением

$$l = l_0 [1 - \xi (l_0 - \xi)],$$

где l_0 - начальная длина связи .

К такой схеме в грубом приближении можно свести пролетное строение вертикально-подъемных мостов, подвижная часть которого перемещается с помощью тросов, наматываемых на барабан .

Свободная длина троса при подъеме уменьшается . Если пролетное строение имеет небольшой уклон, существует горизонтальное усилие, прижимающее подвижные подвески к направляющим и вызывающее сухое трение при подъеме .

Задача рассмотрена в предположении малой величины упругой характеристики и значительной жесткости связи . Учтены статическая и кинетическая характеристики силы трения, определяемые выражениями (1) и (3) . Задача предполагает небольшие силы трения , когда изменение температуры на поверхности контакта существенно не изменяет коэффициенты скоростной зависимости силы трения .

Решение выполняется способом припасовывания . Рассматривается в отдельности участок относительного скольжения и чистого . Общее решение получается путем сложения решений на каждом участке . Очевидно, на участке относительного движения следует рассматривать нестационарный режим движения, так как отрезок времени относительного скольжения очень мал . Уравнение движения имеет вид :

$$M\ddot{\xi} + 2h\dot{\xi} + F_{ck}(\dot{\xi}) - \frac{q}{l}(vt - \xi)\left(1 + \frac{\dot{\xi}}{l - \xi}\right) - c = 0 \quad (5)$$

НТБ
Документ

где h - коэффициент вязкого сопротивления внешней среды, g - жесткость связи, C - удерживающая сила, M - масса тела

Точками обозначены производные по времени.

Для исключения линейного члена перемещения \dot{x} уравнение (5) преобразовано к уравнению

$$\ddot{x} + (b_0 \bar{e}^{kx} + 2h) \dot{x} + qx \frac{b_0}{\bar{e}^{kx} - b_0} = -a_1 \bar{e}^{-kx} - G, \quad (6)$$

где обозначено

$$a_1 = \frac{F_{ck}(v)}{M}, \quad q = \frac{g}{b_0 M}, \quad b_0 = \frac{b_0 \bar{e}^{-kv}}{-M},$$

$$h = \frac{h}{M}, \quad G = \frac{a - C + 2hv}{M}, \quad x = \xi - vt.$$

Для решения нелинейного уравнения (6) использована комбинация метода переменного масштаба и последовательных приближений.

При использовании в качестве нулевого приближения решено линеаризованное уравнение

$$x_0 = \bar{e}^{\frac{-h}{M}t} (A \cos \theta t + B \sin \theta t) - \frac{G}{q},$$

и подстановка его в нелинейные члены уравнения (6) получено уравнение с переменными коэффициентами

$$\ddot{x} + N_1(t) \dot{x} + T_1(t) x = F_1(t),$$

которое решено приближенно при помощи метода переменного масштаба

Здесь $N_1(t) = 2h + b_0 \bar{e}^{kx_0}$ $F_1(t) = - (a_1 \bar{e}^{-kx_0} - G)$,

НТБ
Днужт

$$T_1 = \left(1 - vt b^{-1} - \chi_0 b^{-1} \right)^{-1}$$

Решение получено в виде бесконечного ряда

$$\chi = \sum_{m=1}^{\infty} S_m \cos(m\theta t + \rho_m) - \frac{\theta}{q},$$

где S_m, ρ_m - амплитуда и сдвиг фазы m -ой гармоники, θ - частота свободных колебаний системы
 $q \approx \theta^2 Q = Q(G, a, b, h)$.

Из условия равенства скорости в начале и конце движения получено условие остановок, а также время относительного движения .

Время неподвижного контакта t_2 определяется из трансцендентного уравнения

$$T_1 + vt_2 \frac{q}{b - vt_2} = 0,$$

которое решается методом последовательных приближений .

Аналитическое решение задачи составлено с численным, полученным на ЭЦВМ "Урал-1"

Полученное решение обладает одним недостатком, который является следствием приложения метода припасовывания : на различных участках решение имеет различный вид . В связи с этим сделана попытка получить приближенное решение, общее для участка относительного покоя и движения. Для упрощения принято, что восстанавливающая сила линейна и автоколебания не вызываются, в основном, существованием силы сцепления. Рассмотрен стационарный режим с периодическими остановками . Как показали

Днукт

Я.Г.Пановко и Г.И.Страхов, учет упругих свойств колеблющегося тела приводит к тому, что усредненная по всей поверхности сила трения покоя как функция скорости смещения изменяется непрерывно от нуля до максимума .Принята приближенная зависимость изменения силы трения от скорости смещения, качественно совпадающая с действительной .Решение выполнено способом последовательных приближений с использованием метода переменного масштаба .Чтобы ограничиться первым приближением, нулевое приближение χ_0 принято близким по форме к ожидаемому решению :

$$\chi_0 = A \sin \Psi(t) + R . \quad (7)$$

Здесь $\Psi(t) = \theta t - v \sin \Psi(t)$ Параметры A, θ, v, R , пока неизвестны .

С помощью выражения (7) получено нулевое приближение скорости смещения .Следовательно, исходное нелинейное уравнение после подстановки в нелинейные члены нулевого приближения (7) преобразуется к линейному уравнению с правой частью .Благодаря введению ряда приближенных равенств, решение в первом приближении имеет вид

$$\chi = \sum_{n=1}^{14} \left(A_{in} \sin \frac{n}{2} \Psi + B_{in} \cos \frac{n}{2} \Psi \right) + R ,$$

где коэффициенты A_{in}, B_{in}, R зависят от параметров фрикционной зависимости в системе в целом .

Неопределенные коэффициенты получены из условия, что время неподвижного контакта соответствует участку относительного покоя на принятой форме движения, нулевое приближение скорости движения в начальный момент времени равно ско-

Документ

росты перемещения поверхности трения и работы силы трения, представленной приближённой зависимостью, на перемещении (7) за период колебаний равна работе, выполненной силой трения.

Анализ решения показывает, что амплитуда и период колебаний возрастают с уменьшением скорости движения системы и с увеличением силы трения, что согласуется с известными опытными данными .

Аналогичным образом решена задача о движении маятника Фроуда с нелинейной восстанавливающей силой, когда автоколебания носят релаксационный характер . Уравнение движения имеет вид

$$\ddot{\chi} + h \dot{\chi} + q \sin \chi = F_p ,$$

где h, q, F_p – удельные значения соответственно коэффициента вязкого сопротивления, жесткости, силы трения .

Вторая глава посвящена аналитическому исследованию релаксационных автоколебаний систем с двумя степенями свободы, так как такую систему можно рассматривать как первое приближение к системе с многими степенями свободы .

Движение симметричной системы двух связанных тел, которые взаимодействуют силой трения с движущейся поверхностью, исследовано в работе В.Ф.Петрова . В настоящей работе исследована несимметричная система . Предполагается, что одно тело взаимодействует с движущейся поверхностью большой силой трения и связано линейно упругими связями с неподвижной опорой и вторым телом. Каждый период колебаний первого тела включает в себя участок равномерного движения, когда соприкасающиеся поверхности имеют неподвижный контакт. Уравнение движения системы имеет вид :

Документ

$$\ddot{x}_1 + 2h_1 \dot{x}_1 + q_1 x_1 + N(t) = \rho(\dot{x}_1) \quad (8)$$

$$\ddot{x}_2 + 2h_2 \dot{x}_2 - N(t) \rho^{-1} = 0 \quad (9)$$

Здесь введены обозначения :

x_1, x_2 – перемещение первого и второго тела

$N(t)$ – удельное усилие взаимодействия тел ;

$$N(t) = \beta q_1 (\gamma x_1 - x_2),$$

$\gamma x_1 - x_2$ – величина деформации связи первого и второго тела ;

q_1, q_2 – удельные жесткости связи первого тела с неподвижной опорой и связи между телами ;

γ, β – коэффициенты пропорциональности ;

h_1, h_2 – коэффициенты сопротивления, пропорциональные скорости соответственно для первого и второго тела ;

$\rho(\dot{x}_1)$ – усилие трения

Рассмотрены автоколебания системы, имеющие существенно выраженный релаксационный характер, когда последние значительно отличаются от гармонических. Предполагается, что скоростная зависимость силы трения линейна. Так как промежуток времени неподвижного контакта мал, принимается, что усилие трения покоя определяется зависимостью (3). Если выбрать начало отсчета в середине участка относительного покоя, тогда система уравнений (8) и (9) приобретает вид

$$\ddot{x}_1 + 2h_1 \dot{x}_1 + q_1 x_1 + \beta q_2 (\gamma x_1 - x_2) = F(\dot{x}_1) \quad (10)$$

$$\ddot{x}_2 + 2h_2 \dot{x}_2 + q_2 (x_2 - \gamma x_1) = 0 \quad (II)$$

ИМК
Днужт

где $F(\dot{x}_i)$ - нелинейная функция скорости

$$F(\dot{x}_i) = \rho_i(\dot{x}_i) - F_{ck}, \quad F_{ck} = F_{cko} + \gamma(U - \dot{x}_i), \quad \gamma = \text{const}.$$

Так же, как и в первой главе для решения использован способ последовательных приближений. Нулевое приближение определяется выражением (7). Нелинейная функция скорости

$F(\dot{x}_i)$ аппроксимируется другой функцией, позволяющей получить решение

$$F(\dot{x}_i) = \frac{\alpha_i(1 - \cos \psi)(1 + \pi_i \cos \psi)}{1 + \gamma \cos \psi} \quad (12)$$

Здесь ψ - параметр нелинейности. Параметры α_i, π_i определяются из условий, что в точке срыва неподвижного контакта аппроксимирующая функция имеет максимум и ее работает за период колебаний на перемещении (7) равна работе силы трения

После подстановки выражения (12) в систему уравнений (10) и (11) получено решение последней в первом приближении

$$\begin{aligned} \dot{x}_i &= \sum_i^k \left[L_i \sin \Psi_{ik}(t) + H_i \cos \Psi_{ik}(t) \right] + M \\ x_i &= \sum_i^k \left[J_i \sin \Psi_{ik}(t) + Q_i \cos \Psi_{ik}(t) \right] + L \end{aligned} \quad (13)$$

Для определения неизвестных параметров, входящих в решение (13), имеем систему алгебраических уравнений. Следовательно, решение системы дифференциальных уравнений (8) и (9) сводится к решению системы алгебраических уравнений, включающей и трансцендентные. Рассмотря на сложность решения, приведенный способ позволяет исследовать движение системы, а решение

Документ

системы целесообразно выполнить с помощью электронно-вычислительных машин .

Полагая, что Π изменяется непрерывно, можно определить максимальные амплитуды и частоты для перемещений X_1 и X_2 , которые являются оценочными, так как всегда превышают амплитуды и частоты, соответствующие целочисленным значениям Π . В результате исследования решения установлено, что движение системы непериодическое .

Исследован режим резко выраженных релаксационных автоколебаний рассматриваемой системы, когда период автоколебаний определяется длительностью неподвижного контакта .

В таком режиме колебания системы имеют резко выраженную нелинейность, так как период автоколебаний почти пропорционален амплитуде . Полученное выше решение становится непригодным.

Для исследования резко выраженных релаксационных автоколебаний решение выполнено способом припасовывания. Движение системы полностью определяется параметрами A_n и B_n , характеризующими амплитуду усилия взаимодействия, усилив при подхвате T_n и времени неподвижного контакта $2t_n$. Рассматриваются в отдельности участок относительного покоя и движения.

Принимается для упрощения, что сила трения покоя определяется зависимостью (2), которая предпочтительна, если длительность неподвижного контакта существенна .

Решение сводится к тому, чтобы перейти от известных параметров A_n, B_n, T_n, t_n к неизвестным A_m, B_m, T_m, t_m .

Документ

Для определения последних получены четыре алгебраических уравнения, среди которых уравнение для определения времени неподвижного контакта $2t_n$ — трансцендентное. Последнее решено приближенно.

Исследованием полученного решения установлено, что взаимодействие тел увеличивает максимальную амплитуду и период автоколебаний. Обнаружено, что взаимодействие тел уменьшает время неподвижного контакта для текущего периода и увеличивает для последующего, если трансцендентное уравнение для определения длительности контакта имеет несколько действительных корней.

Если ввести коэффициент влияния усилия взаимодействия на период автоколебаний

$$m = \frac{\Delta t_n}{\Delta E},$$

где ΔE — изменение амплитуды E — взаимодействия тел, а Δt_n — изменение времени неподвижного контакта, тогда можно получить приближенное равенство

$$m = [q_1\Gamma - h_1E - \dot{F}(t_n)]^{-1}$$

Нетрудно заметить, что для некоторых значений t_n коэффициент m становится очень большим, в результате чего незначительное увеличение усилия взаимодействия или незначительное уменьшение скорости Γ вызывает резкое уменьшение амплитуды и периода автоколебаний.

Исследовано развитие амплитуды колебаний первого и второго тела. Установлено, что если выполняется неравенство

$$\frac{\beta_0}{2} + \sqrt{\frac{\beta_0^2}{4} + \beta_0} > \frac{q_{10}}{\beta_1 q_2} > 2,$$

НТБ
Документ

тогда малые колебания второго тела, соответствующие Π -ому периоду автоколебаний, будут обязательно возрастать при переходе к последующему периоду, если амплитуда автоколебаний при переходе от $\Pi-1$ -го к Π -ому увеличивается. Однако увеличение возможно только до тех пор, пока сила трения, соответствующая $\Pi+1$ -ому периоду, далека от максимальной. В противном случае колебания второго тела убывают при переходе к $\Pi+1$ -ому периоду.

Исследование показывает, что увеличение параметров q_s, h_s , уменьшение параметров q_r, h_r , увеличение J при малых значениях βq_r и больших q_r приводят к более частому и резкому изменению амплитуды колебаний второго тела.

Установлено, что резко выраженные релаксационные автоколебания системы с двумя степенями свободы являются непериодическими и развитие последних всегда ограничено благодаря разобщенности системы.

Следующая часть диссертации посвящена экспериментальному исследованию релаксационных колебаний системы с сухим трением.

В третьей главе исследуются релаксационные колебания маятника Фrouда пилообразного вида, когда основным фактором, вызывающим автоколебания, можно считать разность силы трения скольжения и скольжения.

Известно, что при выполнении условия (4) возможен проскаок. Очевидно, если выполняется условие

$$3F_s < \beta_n, \quad (14)$$

НГБ
Днужт

возможен проскок и колебания без остановок не только после первого срыва, но и после последующих. Здесь P_a - усилие трения при срыва. Продолжительность высокочастотных колебаний при этом пропорциональна разности $P_a - 3F_{\text{см}}$.

Экспериментальная установка, на которой выполнены исследования, имеет вращательное движение принудительно-подвижного элемента. Запись автоколебаний выполнена с помощью осциллографа Н-700. Скорость вращения $\dot{\psi}$ диска составила 0,00117 1/сек. В процессе эксперимента были обнаружены высокочастотные колебания в начале каждого периода автоколебаний различной продолжительности, в изменении амплитуды которых отсутствует какая-либо закономерность. В таблице I приведены результаты записи

Таблица I.

Номер периода	P_n нм	T_n и ч	$2t_n$ сек	Δt_n сек	K_n
					сек
I	52,5				
2	49	-11,7	200	37,6	0,4
3	38	-9,6	190	37	0,33
4	42	-3	175	4,4	0,25
5	39	-5,4	183	14	0,365
6	42	-3,7	190	9,6	0,22
	43	-5,4	173	12,4	0,41
		-6,0		14,4	0,42

НТБ
Днужт

Вдесь параметр K_1 определяется следующим выражением

$$K_1 = \frac{P_n - 3F_{\text{ско}}}{\Delta t_{n+1}}$$

Усилие при срыве P_n и подхвате T_n приведено в нижеследующем тексте, времени неподвижного контакта Δt_n и продолжительности высокочастотных колебаний Δt_{n+1} в сек. Анализ таблицы показывает, что усилие трения при срыве изменяется в пределах 28 %, что вызывает значительное изменение периода автоколебаний. Следует отметить, что увеличение усилия трения при срыве вызывает увеличение периода автоколебаний для последующего периода и наоборот.

Наибольший интерес представляет тот факт, что условие (14) выполняется для каждого периода. Это подтверждает правильность изложенных выше соображений о причинах возникновения высокочастотных колебаний при подхвате. Дополнительным подтверждением является то, что параметр K_1 остается почти постоянным несмотря на то, что разность $P_n - 3F_{\text{ско}}$ и время Δt_n изменяются на 67 %. Исключение составляет четвертый и шестой период, где указанная разность мала и сравнима с погрешностью измерений.

Четвертая глава посвящена экспериментальному исследованию релаксационных автоколебаний системы с двумя степенями свободы, аналитическое исследование движения которой выполнено ранее. Колебания первого тела имеют пилообразный характер. Экспериментальная установка изготовлена на базе прибора, упомянутого в третьей главе. Перед началом эксперимента были записаны свободные колебания системы и определены динамические колебания тел и жесткости связей.

Документ

Для снятия статической характеристики силы трения связь между первым и вторым телом была устранена . Чтобы получить силу трения, соответствующую различным значениям времени неподвижного контакта, колебания системы были записаны при различных скоростях вращения диска. Скорость вращения изменялась в пределах $0,0004I + 0,00117$ I/сек , время неподвижного контакта - $I6 + 158$ сек .

В результате получена нелинейная зависимость силы сцепления F от длительности неподвижного контакта T которая аппроксимирована кривой

$$F = 43,1(1 - e^{-0,0215T})$$
,
проходящей через три характерные точки .

Запись автоколебаний системы с двумя степенями свободы выполнена в первом опыте при скорости вращения диска $0,005 \frac{I}{сек}$, во втором - $0,009I$ I/сек Период автоколебаний в первом опыте изменился от 6,4 сек до 44,8 сек, во втором от 6,4 сек до 35,7 сек

После увеличения скорости вращения диска прибора характер движения системы несколько изменился. Увеличиваясь максимальная амплитуда усилия взаимодействия, изменения амплитуды колебаний первого тела стали более резкими .

Следует отметить, что факт отсутствия периодичности колебаний подтвердился как в первом, так и втором опыте

Проведено сравнение аналитического решения с экспериментальными данными

Для сравнения требовалось определить реализацию статической характеристики силы трения в сопутствующий момент . В процессе эксперимента определения характеристики обла-

руженко, что реализации ее медленно изменяется.

Благодаря этому реализации некотоных параметров, вычисленная по результатам записи первых трех периодов выбранного участка, оказалась приемлемой для некоторого количества последующих периодов автоколебаний. Сравнение выполнено четырьмя приемами. Первый прием не учитывает факторы случайности. Второй прием учитывает случайные факторы при поджиге, третий учитывает кроме этого исполнение воздействия случайных факторов на предшествующем участке движения. Четвертый прием сравнения приведен с использованием экспериментально полученного значения параметра b силы сцепления.

Результаты сравнения показывают, что аналитическое решение подтверждается проведенным экспериментом.

Как и следовало ожидать, наилучшее сходство аналитического решения с экспериментальными данными дает третий прием, учитывающий максимум факторов случайного воздействия, и самое плохое — первый прием.

Выводы

Исследование нестационарного движения автоколебательной системы с одной степенью свободы показывает, что при некоторых значениях параметров системы имеют место автоколебания типа биений.

В результате экспериментального исследования движения машины Фроуда получены следующие выводы:

I. Существуют такие реальные автоколебательные системы с сухим трением, в которых сила трения при срыве превосходит

уточненную величину силы трения скольжения при скорости скольжения, равной нулю, не только в переходном режиме движения, но и в стационарном .

2.Указанные неравенства приводят к возникновению высокочастотных колебаний системы после подхвата, амплитуда и частота которых определяются только внутренней жесткостью и лифтом системы,

3.Продолжительность высокочастотных колебаний пропорциональна разности между силой трения при срыве и силой трения скольжения.

4.Наличие высокочастотных колебаний приводит к изменению усилия трения при подхвате и, следовательно, является причиной изменения усилия трения при срыве, а также амплитуды автоколебаний .

5.Изменение усилия трения при срыве сопровождается соответствующим изменением периода автоколебаний для последующего периода

При исследовании движения автоколебательной системы с двумя степенями свободы получены следующие выводы

1.Наибольшим колебаниям второго тела соответствуют наибольшая амплитуда предшествующего периода автоколебаний и наибольшая величина последнего

2.Наибольшая амплитуда колебаний второго тела соответствует малой величине времени неподвижного контакта и наоборот .

3.Увеличение амплитуды колебаний второго тела назначительно изменяет время неподвижного контакта до тех пор, пока

Документ

восстановливавшее усилие, соответствующее ближайшему к моменту срыва максимуму усилия взаимодействия, не станет равным сумме усилий сцепления и трения скольжения. После этого наступает резкое уменьшение периода автоколебаний примерно на один период колебаний второго тела . Следствием этого является неустойчивость решения по отношению к случайным воздействиям, что подтверждается экспериментально .

4.Между амплитудой автоколебаний и колебаний второго тела, соответствующих последующему периоду автоколебаний, как правило, имеется соответствие , т.е. увеличение или уменьшение одной обязательно сопровождается увеличением или уменьшением другой .

5.Увеличение скорости перемещения поверхности трения при малых ее значениях сопровождается увеличением максимального значения амплитуды колебаний второго тела и более резкими изменениями последней .

6.Полученное аналитическое решение полностью согласуется с этими выводами и позволяет определить, как изменяется амплитуда и частота колебаний каждого тела в зависимости от изменения параметров системы .

Основное содержание диссертации опубликовано в работах :

1.Баев С.В. ,К вопросу о нестационарном движении автоколебательной системы с сухим трением.Труды ДИИТ"а, вып.73 ,„Исследования по теории колебаний и динамике мостов",изд. „Транспорт",М.,1968

2.Баев С.В. К вопросу о релаксационных колебаниях систем с сухим трением.Труды ДИИТ"а, „Теория колебаний и динамика мостов",вып.99,изд. „Кул'язельник",Киев,1969 .

Документ

- 3.Басев С.В., К вопросу о нестационарном движении системы с сухим трением. Труды ДИИТ"а, "Теория колебаний и динамика мостов", вып.59 , изд."Будівельник",Киев,1969 .
- 4.Басев С.В., К вопросу о движении маятника Фроуда. Труды ДИИТ"а, "Строительная механика и мосты", вып.П10, изд."Промиз", Днепропетровск, 1970 .
- 5.Басев С.В., К вопросу о релаксационных колебаниях тела с величинной восстанавливающей силой. Тезисы доклада, первой республиканской конференции молодых ученых-железнодорожников.Днепропетровск, 1969
- 6.Басев С.В., О релаксационных автоколебаниях системы с двумя степенями свободы. Тезисы докладов первой республиканской конференции молодых ученых-железнодорожников.Днепропетровск,1969 .
- 7.Басев С.В., Об экспериментальном исследовании релаксационных колебаний маятника Фроуда. Материалы юбилейной научно-технической конференции института.ДИИТ,Днепропетровск, 1970 .
- 8.Басев С.В., О релаксационных автоколебаниях системы с двумя степенями свободы под действием силы сухого трения. Материалы юбилейной научно-технической конференции института .ДИИТ,Днепропетровск, 1970 .

Кроме этого работы была доложена на заседании научного семинара по механике в Днепропетровском институте инженеров железнодорожного транспорта в мае 1970 г.

Сканировала Камянская Н.А.

НТБ
Днужт